

## Содержание

Введение . . . . .	2
1 Проблема происхождения обойденных элементов . . . . .	4
2 SkyNet . . . . .	6
3 Столкновительный $\beta$ -распад . . . . .	7
4 Постановка задачи $g$ -процесса . . . . .	9
5 Аппроксимация . . . . .	10
6 Анализ результатов . . . . .	13
Заключение . . . . .	14
Список используемой литературы . . . . .	15

## Введение

В данной работе рассматривается синтез ядер в астрофизических процессах. Процессы, приводящие к появлению легких элементов (с массовым числом меньше массового числа  $Fe$ ) относительно известны и изучены. Однако распространенности элементов, тяжелее железа, относительно слабо зависит от массового числа  $A$ , что свидетельствует о ином механизме образования этих элементов. Образование таких ядер в результате взаимодействия заряженных частиц сильно подавлено из-за кулоновского барьера. Также большинство тяжелых элементов являются  $\beta$ -радиоактивными. На данный момент считается, что тяжелые элементы образуются в реакциях захвата нейтронов. Обычно различают быстрый ( $r$ ) и медленный ( $s$ ) процессы захвата нейтронов (от английских слов *rapid* и *slow*). Эти два механизма различаются отношением скорости захвата нейтронов (реакция  $(n, \gamma)$ ) к скорости бета-распада. Предполагается, что примерно половина наблюдаемого количества элементов с  $A > 60$  образуется в результате  $s$ -процесса. В настоящее время общепризнанно, что многие ядра тяжелее железа, включая все ядра тяжелее  $^{209}Bi$ , образуются  $r$ -процессом путем быстрого последовательного захвата большого количества нейтронов. Как было сказано выше, основное условие - высокая скорость захвата нейтронов. Однако эти условия (для возникновения  $r$ -процесса) являются экстремальными и встречаются крайне редко. Считается, что такие условия наблюдаются в процессе слияния нейтронная звезда - нейтронная звезда.

Образование некоторых изотопов не может быть объяснено в рамках указанных выше процессов, их принято называть обойденными или  $r$ -изотопами. Их название обусловлено тем, что, если рассмотреть картину  $s$ -процесса и  $r$ -процесса, то можно увидеть стабильные элементы, которые не могут быть получены путем  $\beta$ -распада, так как в данных условиях, он не является разрешенным.

В данной работе моделируются реакции образования химических элементов в процессе поглощения нейтронной звезды черной дырой [1] с учетом столкновительного  $\beta$ -распада как процесса, приводящего к появлению обойденных ядер. Вычисление сечений реакций производится с использованием данных открытой библиотеки REACLIB, в основе которой лежит аппроксимация температурной зависимости сечения специальной функцией, включа-

ющей 7 уникальных для каждой реакции параметров [2].

Столкновительный бета-распад был впервые предложен в работе [3], объяснение образования обойденных элементов на основе СБР - в работе [4]

В настоящей магистерской диссертации вычислены сечения СБР для ряда изотопов, а также найдены параметры температурной аппроксимации в формате библиотеки REACLIB. Полученные результаты включены в набор реакций, возникающих при поглощении нейтронной звезды черной дырой, и в дальнейшем выполнено моделирование синтеза химических элементов с помощью открытой библиотеки SkyNet [5].

Процесс моделирования слияний нейтронная звезда - черная дыра будет выполняться с помощью открытой библиотеки SkyNet, написанную Jonas Lippuner с дополнением ее своим набором реакций.

## 1 Проблема происхождения обойденных элементов

Процессы, приводящие к происхождению элементов можно разделить на несколько видов. Большой взрыв привел к появлению водорода ( $\sim 75\%$  общей массы) и гелий ( $\sim 25\%$ ) в промежутке от первых десяти секунд до минуты после большого взрыва, а также некоторое количество дейтерия,  $^3\text{He}$  и  $^7\text{Li}$  [6].

Далее происходило горение в звездах малой массы, представляющее из себя р-р-цепь, имеющую малое сечение, приводящее к появлению более тяжелых элементов, таких как  $^{20}\text{Ne}$ ,  $^{24}\text{Mg}$ ,  $^{28}\text{Si}$  и т. д. [7, 8, 9].

Звезды с начальной массой более  $8M_{\odot}$  проходят через несколько стадий горения, которые в конечном счете могут произвести элементы вплоть до массового числа  $A = 56$  (когда энергия связи на нуклон (протоны и нейтроны) достигает максимума). Поэтому более тяжелые нуклиды связаны слабее, что означает, нужно добавить энергию, для обеспечения слияние за пределами  $A = 56$  [7, 10, 11]. Из-за кулоновского барьера распространенность элементов до пика железа намного выше распространенности более тяжелых нуклидов [12].

Процесс приводящий к появлению элементов за пиком железа - захват нейтронов [7]. В зависимости от того, является ли время  $\tau_{\beta}$  для  $\beta$ -распада короче или длиннее чем время  $\tau_n$  для захвата нейтронов, выделяют r-процесс и s-процесс.

R-процесс приводит к появлению элементов с большим массовым числом, однако требует экстремальных условий и места его протекания до сих пор исследуются. Поскольку сечение захвата нейтронов должно быть велико, требуется очень богатая нейтронами среда [13]. Недавние исследования показывают, что коллапс ядра сверхновых и слияние нейтронных, слияние черной дыры - нейтронной звезд являются единственными жизнеспособными кандидатами на места протекания r-процесса [14, 15, 16, 1].

Совсем недавно, было обнаружен коллапсара, который также является местом протекания r-процесса [17].

Однако ни r-процесс, ни s-процесс не объясняют происхождение некоторых ядер, так как  $\beta$ -распад, необходимый для их появления, является запрещенным, если смотреть на траекторию преобразования элементов. Такие ядра называют обойденными или р-ядрами. Их происхождение до сих пор

малоизучено [18].

Обойдѐнные ядра - устойчивые атомные ядра, лежащие в стороне от всех возможных путей образования тяжѐлых ядер из более лёгких в процессе последовательного захвата последними нейтронов [19]. Распространѐнность обойденных ядер, как правило, примерно на два порядка величины ниже, чем у близких к ним ядер, лежащих на пути нейтронного захвата. К таковым относятся:  $^{74}\text{Se}$ ,  $^{78}\text{Kr}$ ,  $^{80}\text{Kr}$ ,  $^{84}\text{Sr}$ ,  $^{92}\text{Mo}$ ,  $^{94}$ ,  $^{96}\text{Ru}$ ,  $^{98}\text{Ru}$ ,  $^{102}\text{Pd}$ ,  $^{106}\text{Cd}$ ,  $^{108}\text{Cd}$ ,  $^{113}\text{In}$ ,  $^{112}\text{Sn}$ ,  $^{114}\text{Sn}$ ,  $^{115}\text{Sn}$ ,  $^{120}\text{Te}$ ,  $^{124}\text{Xe}$ ,  $^{126}\text{Xe}$ ,  $^{130}\text{Ba}$ ,  $^{132}\text{Ba}$ ,  $^{136}\text{Ce}$ ,  $^{138}\text{Ce}$ ,  $^{144}\text{Sm}$ ,  $^{152}\text{Gd}$ ,  $^{152}\text{Dy}$ ,  $^{158}\text{Dy}$ ,  $^{162}\text{Er}$ ,  $^{164}\text{Er}$ ,  $^{168}\text{Yb}$ ,  $^{174}\text{Hf}$ ,  $^{180}\text{W}$ ,  $^{184}\text{Os}$ ,  $^{190}\text{Pt}$ ,  $^{196}\text{Hg}$  [20].

## 2 SkyNet

Программный пакет SkyNet представляет из себя универсальную сеть ядерных реакций, специально разработанную для моделирования r-процесса, но она также применима к другим астрофизическим сценариям [5].

В качестве библиотеки ядерных реакций в данном программном обеспечении используются данные формата открытой базы реакций JINA REACLIB. Данная баз хранит показатели реакций, таких как зависимость от температуры через семи-параметрическое приближение [2], тип реакции (резонирующая, нерезонирующая, слабая, спонтанный распад), значение температуры, переданное среде, а также параметр  $v$ , указывающий, являются ли показатели  $a_0, \dots, a_6$  обратными. В подавляющем большинстве реакций показатели представляют из себя параметризацию сечения в зависимости от температуры:

$$\left. \begin{array}{l} N_A \langle \sigma v \rangle \\ \lambda_\gamma \end{array} \right\} = \exp(a_0 + a_1 T_9^{-1} + a_2 T_9^{-1/3} + a_3 T_9^{1/3} + a_4 T_9 + a_5 T_9^{5/3} + a_6 \ln T_9) \quad (1)$$

SkyNet позволяет расширять список реакций, используемый при моделировании астрофизических явлений путем добавления новых файлов в сеть. Таким образом, меняя параметры моделирования можно оценить влияния тех или иных реакций на распространенности элементов.

### 3 Столкновительный $\beta$ -распад

Данный процесс является одним из процессов, приводящих к появлению обойденных ядер. Впервые данный процесс был предложен в работе [3].

Столкновительный  $\beta$ -распад стабильных ядер, инициируемый их кулоновскими столкновениями с другими ядерными частицами звездной среды, может быть основой модели процесса синтеза обойденных ядер. Проблема их синтеза на основе физического механизма захвата нейтронов ( $s$ - или  $r$ -процесса) состоит в прерывании цепочки последовательных  $\beta$ -распадов на  $\beta$ -стабильном ядре  $(A, Z)$ .

Процесс СБР стабильных ядер, о котором говорилось выше, для нуклидов главной последовательности предоставляет еще одну возможность преодолеть энергетический порог и осуществить переход

$$(A, Z) \xrightarrow{\beta^-} (A, Z + 1),$$

открывая путь к последующему естественному  $\beta$ -переходу

$$(A, Z + 1) \xrightarrow{\beta^-} (A, Z + 2)$$

Расчеты показывают, что модель синтеза обойденных элементов в звездном веществе на этапе квазиравновесной стадии, основанная на явлении СБР стабильных ядер главной последовательности, качественно, а в ряде случаев и количественно, способна воспроизвести нерегулярный ход кривой относительной распространенности обойденных ядер. Этот факт можно расценивать как косвенное свидетельство в пользу реальности явления столкновительного  $\beta$ -распада стабильных ядер [4].

В случае столкновительного  $\beta$ -распада возможно несколько видов процессов, а именно: протон-ядерные, ядро-ядерные и процесс, стимулированный нейтронами. Рассчитанные сечения для протон-ядерных и ядро-ядерных оказались невелики (менее  $10^{-50} \text{ cm}^2$ ), и процесс пока не доступен для прямого наблюдения, но при помощи программного обеспечения, позволяющего моделировать данные процессы мы можем оценить влияние их на конечные распространенности элементов [21]. Наряду с кулоновскими столкновениями ядер можно предложить механизм СБР, не связанный с кулоновскими силами и в то же время незамаскированный возможным появлением продуктов

$\beta$ -распада за счет ядерных реакций. Речь идет о процессе СБР ядра, стимулированном столкновениями с нейтронами.

Сечение для столкновительного  $\beta$ -распада при столкновении частицы с протоном или другой частицей имеет вид:

$$\begin{aligned} \sigma_{\beta}^{(col)}(\beta_f) = & \frac{4\sqrt{2}}{\pi} \frac{g_v^2 \alpha_e^4 Z(Z+1) Z'^4 \mu^{9/2}}{\varepsilon_i^{3/2} (1 - \exp(-2\pi\lambda_i))} \xi_{\beta}(\beta_f) \times \\ & \times \int_0^{\varepsilon_i - \Delta - \Delta_f} \frac{\Phi(E_f) d\varepsilon_f}{(\exp(2\pi\lambda_f) - 1) k_f (k_i - k_f)^4 (k_i + k_f)^2} \times \\ & \times \int_{x_0}^0 \frac{|F(-i\lambda_i, -i\lambda_f, 1; x)|^2}{(1-x)^2} dx, \quad (2) \end{aligned}$$



## 4 Постановка задачи r-процесса

Целью данной работы является оценка вклада столкновительного  $\beta$ -распада на происхождение обойденных элементов. Для этого смоделируем при помощи SkyNet слияние черной дыры и нейтронной звезды (BHNS) с использование заранее известных параметров системы [23].

Начальный состав представляет из себя  $T = 6.1\text{ГК}$ ,  $\rho = 7.4 \times 10^9\text{гсм}^{-3}$ , и  $Y_e = 0.07$ . Большую часть элементов составляют нейтроны ( $\sim 79\%$ ), поэтому дальнейшие исследования зависимости происхождения р-элементов от столкновения с нейтронами, должны дать более значительный результат. Для столкновения с протоном мы выбрали именно эту систему для моделирования, так как эволюция данного процесса протекает на большом отрезке времени, что дает большее расхождения на конечном этапе эволюции. Временной отрезок здесь от  $10^{-3}\text{с}$  до  $5 \times 10^8\text{с}$ .

Для непосредственной оценки влияний СБР построим сечения реакций, приводящий к появлению обойденных элементов, параметризуем их для приведения к формату JINA REACLIB и добавим в сеть.

В конечном итоге сравним распространенности обойденных элементов с учетом СБР и без его учета.

Таблица 1 Характеристики праматеринских ядер.

Праматеринское ядро	Материнское ядро	Обойденное ядро	$\Delta + \Delta_f$ , МэВ	$\lg f_0 t$
$^{74}\text{Ge}$	$^{74}\text{As}$	$^{74}\text{Se}$	2,766	
$^{74}\text{Ge}$	$^{74}\text{As}$	$^{74}\text{Se}$	2,982	
$^{78}\text{Se}$	$^{78}\text{Br}$	$^{78}\text{Kr}$	3,5737	4,8
$^{80}\text{Se}$	$^{80}\text{Br}$	$^{80}\text{Kr}$	1,8703	4,6
$^{84}\text{Kr}$	$^{84}\text{Rb}$	$^{84}\text{Sr}$	2,68	9,6
$^{106}\text{Pd}$	$^{106}\text{Ag}$	$^{106}\text{Cd}$	2,983	4,9
$^{106}\text{Pd}$	$^{106}\text{Ag}$	$^{106}\text{Cd}$	2,471	5,3
$^{108}\text{Pd}$	$^{108}\text{Ag}$	$^{108}\text{Cd}$	1,921	4,8
$^{108}\text{Pd}$	$^{108}\text{Ag}$	$^{108}\text{Cd}$	1,487	5,5
$^{112}\text{Cd}$	$^{112}\text{In}$	$^{112}\text{Sn}$	2,578	4,7
$^{112}\text{Cd}$	$^{112}\text{In}$	$^{112}\text{Sn}$	1,961	5,3
$^{114}\text{Cd}$	$^{114}\text{In}$	$^{114}\text{Sn}$	1,9846	4,8
$^{114}\text{Cd}$	$^{114}\text{In}$	$^{114}\text{Sn}$	1,4266	5,3
$^{120}\text{Sn}$	$^{120}\text{Sb}$	$^{120}\text{Te}$	2,681	4,5
$^{124}\text{Te}$	$^{124}\text{I}$	$^{124}\text{Xe}$	3,157	9,3
$^{124}\text{Te}$	$^{124}\text{I}$	$^{124}\text{Xe}$	2,555	7,5
$^{126}\text{Te}$	$^{126}\text{I}$	$^{126}\text{Xe}$	2,156	9,2
$^{126}\text{Te}$	$^{126}\text{I}$	$^{126}\text{Xe}$	1,49	7,4
$^{130}\text{Xe}$	$^{130}\text{Cs}$	$^{130}\text{Ba}$	3,019	5,1
$^{130}\text{Xe}$	$^{130}\text{Cs}$	$^{130}\text{Ba}$	2,483	6,4
$^{132}\text{Xe}$	$^{132}\text{Cs}$	$^{132}\text{Ba}$	1,443	6,0
$^{136}\text{Ba}$	$^{136}\text{La}$	$^{136}\text{Hf}$	2,87	4,6
$^{164}\text{Dy}$	$^{164}\text{Ho}$	$^{164}\text{Er}$	1,0292	4,6
$^{164}\text{Dy}$	$^{164}\text{Ho}$	$^{164}\text{Er}$	0,9558	4,9

## 5 Аппроксимация

Сначала построим сечения для столкновения некоторых элементов с протоном. Для этого воспользуемся параметрами из таблицы 1.

Полученные сечения для некоторых из реакций таблицы можно видеть на рисунке 1.

Сечение каждой реакции были посчитаны для набора из 24 температур:  $T_9 = 0.1, 0.15, 0.2, 0.3, 0.4, 0.5, 0.6, 0.7, 0.8, 0.9, 1.0, 1.5, 2.0, 2.5, 3.0, 3.5, 4.0, 4.5, 5.0, 6.0, 7.0, 8.0, 9.0, 10.0$  ( $T = T_9 \times 10^9 \text{K}$ ). Так как данный набор является избыточным для параметризации вида 1, воспользуемся методом наименьших квадратов.

Далее, составим необходимый для REACLIB файл библиотеки реакций.

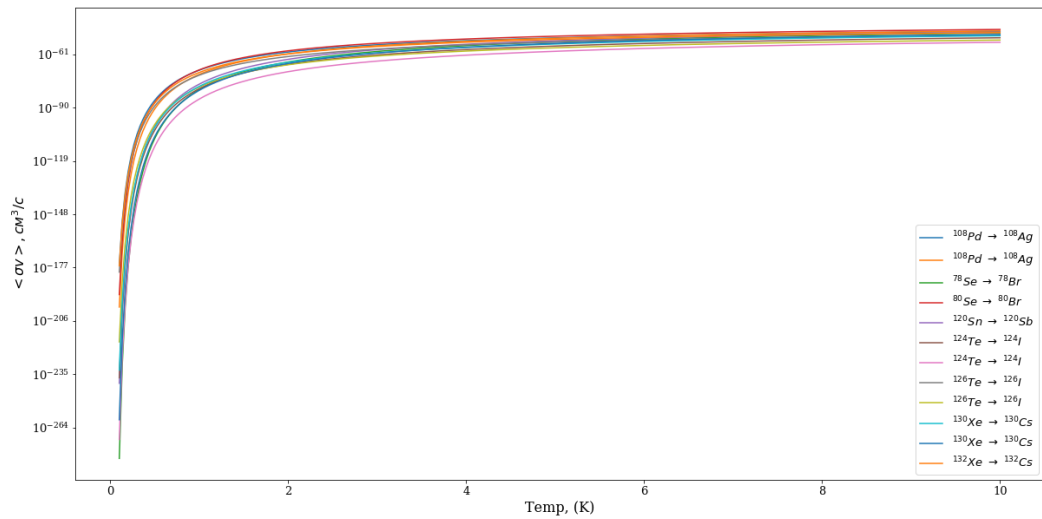


Рисунок 1 – Сравнение решения методом наименьших квадратов с рассчитанным сечением

Для перехода  $^{130}\text{Xe} \rightarrow ^{130}\text{Cs}$  получаем строки вида:

```

1 5
2 pxe130cs130      p                      cleaw      0.00000e+00
3 3.631089e+01-2.513083e+01-3.379005e+02 1.434772e+02
4 -2.028014e+00-6.306473e-02-1.208779e+02

```

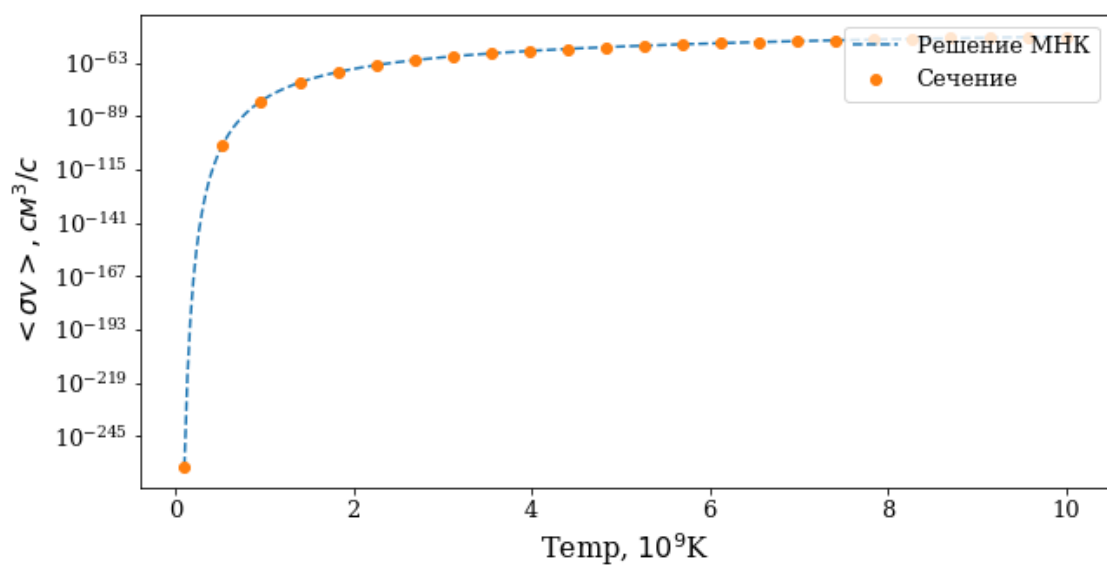


Рисунок 2 – Сравнение решения методом наименьших квадратов с рассчитанным сечением

## 6 Анализ результатов

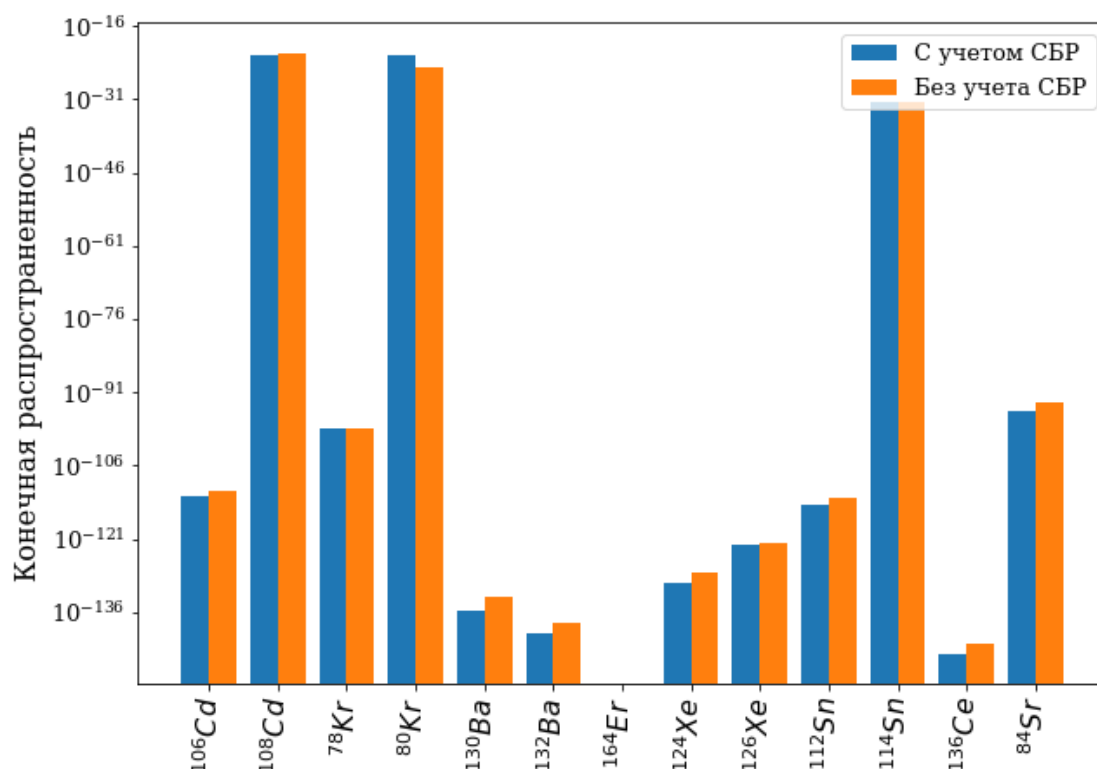


Рисунок 3 – Конечные распространённости обойденных ядер с исходной библиотекой (синий график), и библиотекой, включающей СБР (розовый график)

Самое важным на данном графике является то, что, несмотря на ожидание увидеть меньшие распространённости всех элементов, мы наблюдаем то, что для некоторых ядер эта разница несущественна  $^{114}\text{Sn}$ . Более того, наблюдается относительный избыток ядер  $^{78}\text{Kr}$  и  $^{80}\text{Kr}$ .

Построим график относительной ошибки между эволюцией элементов с нашей библиотекой реакций и тем, что присутствовало в изначальной версии REACLIB (рисунок ??):

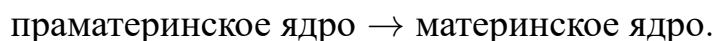
## Заключение

В данной работе было рассмотрено влияние столкновительного бета-распада на синтез химических элементов.

Сначала мы вычислили сечения столкновительного бета рас-пада для реакций из таблицы 1, а именно, столкновения протона с праматеринским ядром. Для этого была написана программа на языке Python, позволяющая получить сечение, имея небольшое количество начальных данных.

Данные сечения были параметризованы через 7 параметров  $a_0, \dots, a_6$ , определяющих зависимость от температуры, чтобы иметь возможность дополнить реакциями библиотеку JINA REACLIB. Из полученных наборов параметров, был построен файл, который представляет из себя реакции REACLIB для каждого из процессов таблицы 1.

Далее, при помощи пакета SkyNet были приведено моделирование слияние черной дыры-нейтронной звезды, чтобы оценить влияние СБР на общую картину распространенностей элементов. Моделирование проводилось дважды, сначала - с немодифицированной библиотекой JINA REACLIB, затем - с модифицированной, в которую были включены реакции



Было выполнено сравнение полученных картин распространенностей элементов. Сравнение производилось только лишь для обойденных элементов, так как именно их происхождения является темой данной работы. Было подтверждено, что СБР может являться источником обойденных ядер и при больших концентрациях протонов (в условиях рассматриваемого процесса) это влияние существенно, более того, мы можем также получить избыток некоторых элементов.

В данной работе рассматривается образование материнских ядер только при столкновениях с протонами. В дальнейшем предполагается учесть вклад СБР с другими ядрами и нейтронами (отсутствие кулоновско-го барьера), что должно увеличить суммарное сечение СБР, приводящее к появлению обойденных элементов, что даст иную результирующую картину.

## Список использованных источников

- 1 Foucart, Francois. Neutron star-black hole mergers with a nuclear equation of state and neutrino cooling: Dependence in the binary parameters [Text] / Francois Foucart, M. Brett Deaton // Phys. Rev. D. — 2014. — Vol. 90.
- 2 The jina reaclib database: Its recent updates and impact on type-I X-ray bursts [Text] / R. H. Cyburt, A. M. Amthor, Z. Meisei, S. Warren // The Astrophysical Journal Supplement Series. — 2010.
- 3 Баткин И.С. Копытин И.В., Пенионжкевич Ю. Э. - [Text] / Пенионжкевич Ю. Э. Баткин И.С., Копытин И.В. // ЭЧАЯ. — 1991. — Vol. 22. — P. 512.
- 4 Крыловецкая, Т. А. Столкновительный бета-распад ядер и проблема происхождения обойденных изотопов [Text] : Ph.D. thesis / Т. А. Крыловецкая ; ВГУ. — [S. l. : s. n.], 1998.
- 5 Lippuner, Jonas. r-Process Nucleosynthesis in Neutron Star Mergers with the New Nuclear Reaction Network SkyNet [Text] : Ph. D. thesis / Jonas Lippuner ; California Institute of Technology. — [S. l. : s. n.], 2018.
- 6 Tytler D., J. M. O'Meara N. Suzuki. Review Of Big Bang Nucleosynthesis And Primordial Abundances [Text] / J. M. O'Meara N. Suzuki Tytler, D., D. Lubin // Physica Scripta. — 2000. — Vol. 85. — P. 12.
- 7 Rolfs, C. E. Cauldrons in the cosmos: Nuclear astrophysics [Text] / C. E. Rolfs, W. S. Rodney. — Chicago IL, United States : University of Chicago Press, 1988.
- 8 Bethe, H. A. Energy Production in Stars [Text] / H. A. Bethe // Physical Review. — 1939. — Vol. 55. — P. 434.
- 9 Hansen C. J., S. D. Kawaler. Stellar interiors : physical principles, structure, and evolution [Text] / S. D. Kawaler Hansen, C. J., V. Trimble. — [S. l.] : Springer-Verlag, 2004.
- 10 Bodansky D., D. D. Clayton. Nuclear Quasi-Equilibrium during Silicon Burning [Text] / D. D. Clayton Bodansky, D., W. A. Fowler // Astrophysical Journal. — 1968. — Vol. Supplement 16. — P. 299.

- 11 Woosley S. E., A. Heger. The evolution and explosion of massive stars [Text] / A. Heger Woosley, S. E., T. A. Weaver // Reviews of Modern Physics. — 2002. — Vol. 74. — P. 1015.
- 12 Iwamoto K., F. Brachwitz K. Nomoto N. Kishimoto H. Umeda W. R. Hix. Nucleosynthesis in Chandrasekhar Mass Models for Type IA Supernovae and Constraints on Progenitor Systems and Burning-Front Propagation [Text] / F. Brachwitz K. Nomoto N. Kishimoto H. Umeda W. R. Hix Iwamoto, K., F.-K. Thielemann // Astrophysical Journal. — 1999. — Vol. Supplement 125. — P. 439.
- 13 Mathews, G. J. New insights into the astrophysical r-process [Text] / G. J. Mathews, J. J. Cowan // Nature. — 1990. — Vol. 345. — P. 491.
- 14 Thielemann, F.-K. What are the astrophysical sites for the r-process and the production of heavy elements? [Text] / F.-K. Thielemann, R. Käppeli A. Arcones, T. Rauscher M. Liebendörfer // Progress in Particle and Nuclear Physics. — 2011. — Vol. 66. — P. 346.
- 15 Qian, Y.-Z. Nucleosynthesis in Neutrino-driven Winds.I. The Physical Conditions [Text] / Y.-Z. Qian, S. E. Woosley // Astrophysical Journal. — 1996. — Vol. 471. — P. 331.
- 16 Mass ejection from the merger of binary neutron stars [Text] / K. Hotokezaka, K. Shibata, K. Kiuchi [et al.] // Physical Review D. — 2013. — Vol. 87.2. — P. 024001.
- 17 Siegel, Daniel M. Collapsars as a major source of r-process elements [Text] / Daniel M. Siegel, Jennifer Barnes, Brian D. Metzger // Nature. — 2019. — Vol. 569.
- 18 Arnould, M. The p-process of stellar nucleosynthesis: astrophysics and nuclear physics status [Text] / M. Arnould, S. Goriely // Physics Reports. — 2003. — Vol. 384. — P. 1.
- 19 Франк-Каменецкий, Д. А. Реакции  $(p, n)$  и  $(p, 2n)$  и происхождение обойдённых ядер [Text] / Д. А. Франк-Каменецкий // Астрономический журнал. — 1961. — Vol. 38, no. 1. — P. 91.



- 20 Role of core-collapse supernovae in explaining solar system abundances of p nuclides [Text] / C. Travaglio, T. Rauscher, A. Heger [et al.] // *Astrophysical Journal*. — 2018. — Vol. 18, no. 854.
- 21 Копытин И. В., Крыловецкая Т. А. Столкновительный  $\beta$ -распад ядер в кулоновском поле и проблема происхождения обойденных элементов [Text] / Крыловецкая Т. А. Копытин И. В. // *Ядерная физика*. — 1998. — Vol. 61, no. 9. — P. 1589.
- 22 Transport-theoretical description of nuclear reactions [Text] / O. T. Buss, K. Gaitanos, Gallmeister H. van Hees [et al.] // *Physics Reports*. — 2012. — Vol. 512. — P. 1.
- 23 The influence of neutrinos on r-process nucleosynthesis in the ejecta of black hole-neutron star mergers [Text] / L. F. Roberts, J. Lippuner, M. D. Duez [et al.] // *Monthly Notices of the RAS*. — 2017. — Vol. 464.